

## 飛行船システムに関する研究

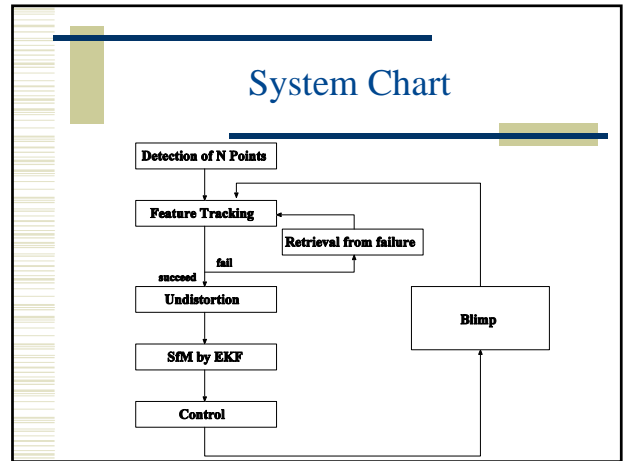
- ◆ リモートモニタリング
- ◆ 地雷探査
- ◆ 携帯電話基地局
- ◆ 監視システム

単カメラを備えた飛行船ロボットの制御  
UAV, LTA (Lighter Than Air)

➡ レスキュー活動など  
特定ターゲット周りの  
3次元再構成画像の提示

## 制御システム

- ◇ センサとしてカメラだけを用いる  
← 地面に対する固定点や接地点がない
- ◆ SfM (Structure from Motion) アルゴリズムで  
回転, 速度, 高度を推定して用いるが,  
高度以外の位置は用いない
- ◆ 画像平面上の点を直接制御  
画像に基づく制御



## Point Feature Tracker

**Lucas-Kanade Tracker の発展**  
**二段階アルゴリズム, 特徴点発見アルゴリズム**  
**特に, 回転とスケーリングを伴う場合の正確な追従**

## Structure from Motion (SfM)

- ◆ 拡張カルマンフィルタを用いる方法 (A. Azarbayejani et.al.)
- オンライン性を重視  
簡潔化されたSfM手法
- ◇ 特徴点が同一平面上
- ◇ 焦点が既知

**推定パラメータ**

$$[t_x, t_y, t_z, \omega_x, \omega_y, \omega_z, \alpha]$$

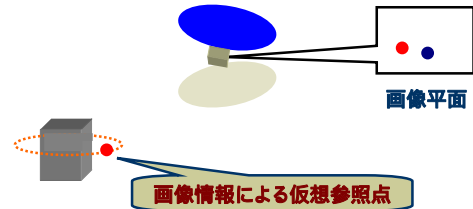
Translation ↑      ↑      ↑      Depth ↑  
Rotation Angle

# 飛行船ロボット

- >長さ: 3.5m
- >直径: 1.5m
- >モータ: 3

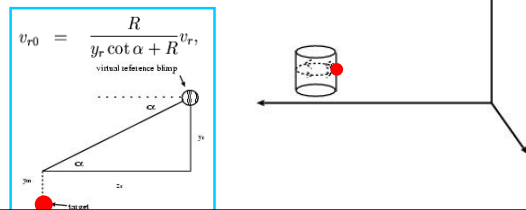


# 画像に基づくトラッキング制御



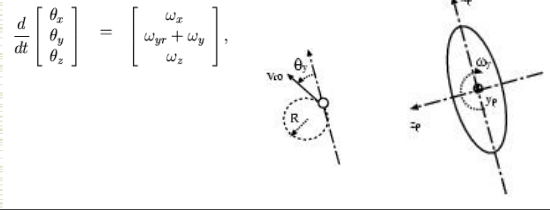
## モデル (1)

$$\frac{d}{dt} \begin{bmatrix} x_p \\ y_p \\ z_p \end{bmatrix} = V_r - V - \Omega \times \begin{bmatrix} x_p \\ y_p \\ z_p \end{bmatrix}$$



## モデル (2)

$$\frac{d}{dt} \begin{bmatrix} x_p \\ y_p \\ z_p \end{bmatrix} = \begin{bmatrix} v_{r0} \cos \theta_y - v \\ u_r - u \\ v_{r0} \sin \theta_y - w \end{bmatrix} - \begin{bmatrix} \omega_y z_p - \omega_z y_p \\ \omega_z x_p - \omega_x z_p \\ \omega_x y_p - \omega_y x_p \end{bmatrix}$$



## モデル (3)

$$\begin{bmatrix} x_c \\ y_c \\ z_c \end{bmatrix} = \begin{bmatrix} 1 & 0 & 0 \\ 0 & \cos \alpha & -\sin \alpha \\ 0 & \sin \alpha & \cos \alpha \end{bmatrix} \begin{bmatrix} x_p \\ y_p \\ z_p \end{bmatrix}$$

仮定:

- ◆ ローリングとピッチング運動が無視できる
- ◆ 重心や浮力中心が  $y_c-z_c$  平面上

$$\frac{d}{dt} \begin{bmatrix} x_c \\ y_c \\ z_c \\ \theta_y \end{bmatrix} = \begin{bmatrix} -1 & \sin \alpha y_c - \cos \alpha z_c & 0 \\ 0 & -\sin \alpha z_c & -\cos \alpha \\ 0 & \cos \alpha z_c & -\sin \alpha \\ 0 & 1 & 0 \end{bmatrix} \begin{bmatrix} v \\ \omega_y \\ u \end{bmatrix} + \begin{bmatrix} v_{r0} \cos \theta_y \\ -v_{r0} \sin \theta_y \sin \alpha \\ v_{r0} \sin \theta_y \cos \alpha \\ \omega_{yr} \end{bmatrix}$$

## モデル (4)

$$\begin{bmatrix} X \\ Y \end{bmatrix} = f \begin{bmatrix} \frac{x_c}{f} \\ \frac{z_c}{f} \\ z_c \end{bmatrix}$$

画像平面 (Image Plane) callout pointing to the matrix equation.

$$\frac{d}{dt} \begin{bmatrix} X \\ Y \\ \theta_y \end{bmatrix} = \begin{bmatrix} -\frac{Y}{f} & Y \sin \alpha - f \cos \alpha - \frac{X^2}{f} \cos \alpha \\ 0 & -X \sin \alpha - \frac{XY}{f} \cos \alpha \\ 0 & 1 \end{bmatrix} \begin{bmatrix} v \\ \omega_y \end{bmatrix}$$

SfM callout pointing to the matrix equation.

$$+ \begin{bmatrix} \frac{Y}{f} v_{r0} \cos \theta_y - \frac{XY}{f} v_{r0} \sin \theta_y \cos \alpha \\ -\frac{Y}{f} v_{r0} \sin \theta_y \sin \alpha - \frac{Y^2}{f} v_{r0} \sin \theta_y \cos \alpha \\ \omega_{yr} \end{bmatrix}$$

SfM callout pointing to the matrix equation.

$$+ \begin{bmatrix} \frac{XY}{f} \sin \alpha u \\ (-\frac{Y}{f} \cos \alpha + \frac{Y^2}{f} \sin \alpha) u \\ 0 \end{bmatrix}$$

無視 (Ignore) callout pointing to the matrix equation.

$$\frac{d}{dt} y_p = -u, \quad y_c = \frac{Y}{f \sin(\alpha - \theta_y)} + Y \cos(\alpha - \theta_y) y_p$$

$K_u(y_p - y_r) + \dot{y}_r$  callout pointing to the matrix equation.

## モデル (5)

ビジュアルフィードバックのための変換 (F. Conticelli et al.)

$$\zeta_1 = \frac{X}{Y}, \quad \zeta_2 = \frac{1}{Y}$$

$$\frac{d}{dt} \begin{bmatrix} \zeta_1 \\ \zeta_2 \\ \theta_y \end{bmatrix} = \begin{bmatrix} -\frac{1}{y_c} \sin \alpha - f \cos \alpha \zeta_2 + \sin \alpha \zeta_1^2 \\ 0 & \zeta_1 \zeta_2 \sin \alpha + \frac{1}{f} \cos \alpha \zeta_1 \\ 0 & 1 \end{bmatrix} \begin{bmatrix} v \\ \omega_y \end{bmatrix} + \begin{bmatrix} \frac{1}{y_c} v_{r0} \cos \theta_y + \frac{1}{y_c} v_{r0} \sin \theta_y \sin \alpha \zeta_1 \\ \frac{1}{f y_c} v_{r0} \sin \theta_y \cos \alpha + \frac{1}{y_c} v_{r0} \sin \theta_y \sin \alpha \zeta_2 \\ \omega_{yr} \end{bmatrix}$$

## モデル (6)

トラッキング制御のための変換

$$\eta_1 = \zeta_1 \quad \eta_2 = \zeta_2 - \zeta_2^d \quad \eta_3 = \theta_y$$

$$\frac{d}{dt} \begin{bmatrix} \eta_1 \\ \eta_2 \\ \eta_3 \end{bmatrix} = \begin{bmatrix} -\frac{1}{y_c} \sin \alpha - f \cos \alpha (\eta_2 + \zeta_2^d) + \sin \alpha \eta_1^2 \\ 0 & \eta_1 (\eta_2 + \zeta_2^d) \sin \alpha + \frac{1}{f} \cos \alpha \eta_1 \\ 0 & 1 \end{bmatrix} \begin{bmatrix} v \\ \omega_y \end{bmatrix} + \begin{bmatrix} \frac{1}{y_c} v_{r0} \cos \eta_3 + \frac{1}{y_c} v_{r0} \sin \eta_3 \sin \alpha \eta_1 \\ \frac{1}{f y_c} v_{r0} \sin \eta_3 \cos \alpha + \frac{1}{y_c} v_{r0} \sin \eta_3 \sin \alpha (\eta_2 + \zeta_2^d) \\ \omega_{yr} \end{bmatrix} \equiv \begin{bmatrix} h_{11} & h_{12} \\ 0 & \eta_1 h_{22} \\ 0 & 1 \end{bmatrix} \begin{bmatrix} v \\ \omega_y \end{bmatrix} + \begin{bmatrix} h_{31} \\ v_{r0} \sin \eta_3 h_{32} \\ \omega_r \end{bmatrix}$$

## コントローラ (1)

バックステッピングの考えから (Z. P. Jiang and H. Nijmeijer)

もし  $\eta_1 = 0$  ならば

$$\dot{\eta}_2 = \sin \eta_3 v_{r0} \frac{1}{y_c} \left\{ \sin \alpha (\eta_2 + \zeta_2^d) + \frac{1}{f} \cos \alpha \right\},$$

ここで,  $\eta_3 = -\varphi(\eta_2 v_{r0})$   $\varphi(s) = \frac{s}{1+s^2}$  と選ぶと

$$\dot{\eta}_2 = -v_{r0} \sin \varphi(\eta_2 v_{r0}) (\text{positive term})$$

この観点から以下のようにおく

$$\bar{\eta}_3 = \eta_3 + \varphi(\eta_2 v_{r0}),$$

$$\begin{bmatrix} \eta_1 = 0 \\ \bar{\eta}_3 = 0 \end{bmatrix}$$

## コントローラ (2)

Kinematic controller

$$\omega_y = -\frac{1}{K_3} (C_2 \bar{\eta}_3 + K_3 h_5 + K_2 \eta_2 v_{r0} h_{32} h_6),$$

$$v = \frac{y_c}{K_1} \{ C_1 \eta_1 + (K_1 h_{12} + K_2 \eta_2 h_{22}) \omega_y \}$$

$$V = \frac{K_1}{2} \eta_1^2 + \frac{K_2}{2} \eta_2^2 + \frac{K_3}{2} \bar{\eta}_3^2,$$

$$\dot{V} = -C_1 \eta_1^2 - K_2 h_{32} v_{r0} \eta_2 \sin \varphi(v_{r0} \eta_2) - C_2 \bar{\eta}_3^2 \leq 0,$$

## 収束性

仮定として  $v_{r0} \neq 0$

$$\lim_{t \rightarrow \infty} \eta_2 = 0$$

$$\lim_{t \rightarrow \infty} \eta_3 = \lim_{t \rightarrow \infty} (\bar{\eta}_3 - \varphi(v_{r0} \eta_2)) = 0$$

$$\Rightarrow X \rightarrow 0 \quad Y \rightarrow Y^d \quad \theta \rightarrow 0$$

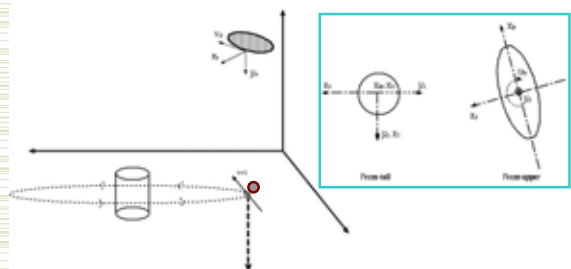
$x_p, z_p$  は望ましい値に収束する!

$$\tau_v = -P_1(v - \bar{v}),$$

Dynamic Controller  $\tau_\omega = -P_2(\omega_y - \bar{\omega}_y),$

$$\tau_u = -P_3(u - \bar{u})$$

## 位置に基づく 飛行船の制御のためのモデル



## 位置に基づく飛行船の制御

$$\frac{d}{dt} \begin{bmatrix} x_c \\ y_c \\ z_c \\ \theta_y \end{bmatrix} = \begin{bmatrix} -1 & y_c & 0 \\ 0 & -x_c & 0 \\ 0 & 0 & -1 \\ 0 & 1 & 0 \end{bmatrix} \begin{bmatrix} v \\ \omega_y \\ u \end{bmatrix} + \begin{bmatrix} v_{r0} \cos \theta_y \\ -v_{r0} \sin \theta_y \\ u_r \\ \omega_{yr} \end{bmatrix}$$

### Kinematic Controller

$$v_f = K_1 x_c + v_{r0} \cos \theta_y,$$

$$\omega_{yf} = -K_3 \sin \theta_y + K_2 y_c v_{r0} - \omega_{yr},$$

$$u_f = K_4 z_c,$$

### Dynamic Controller

$$\tau_v = -P_1(v - \bar{v}),$$

$$\tau_\omega = -P_2(\omega_y - \bar{\omega}_y),$$

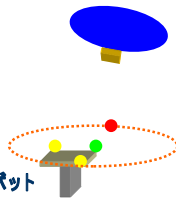
$$\tau_u = -P_3(u - \bar{u})$$

## 実験環境



## 制御手順

- ◆ テーブルの3角が自動で得られる
- ◆ 簡単な安定化コントローラが端に平行になるように適用される  
EKF が良好な推定のために進む
- ◆ 仮想的な望ましい軌道がある角の回りに生成される
- ◆ 主コントローラが劣駆動飛行船ロボットに適用される

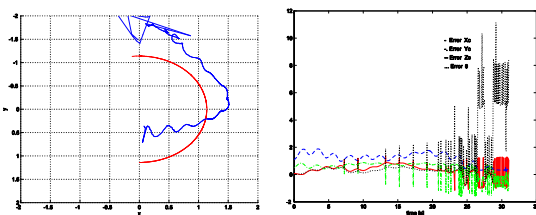


## Image-based Control の結果



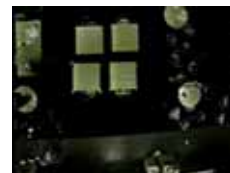
30 frames/s

## Image-based Control の結果

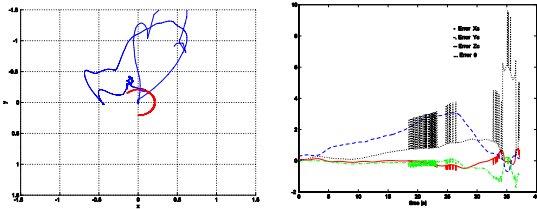


Tracking Errors  
Red: Xc Green: Yc  
Blue: Zc Black:  $\theta$

## Position-based Control の結果



## Position-based Control の結果



Tracking Errors  
 Red: Xc Green: Yc  
 Blue: Zc Black:

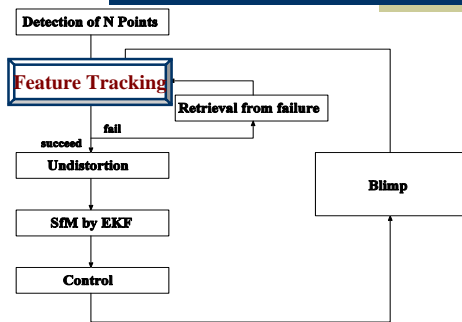
## おわりに

- ◆ 画像に基づくトラッキング制御は位置に基づく制御よりも良好に機能した



画像平面上の点を直接制御することにより SfM アルゴリズムから得られた推定値の利用を減らした結果

## System Chart



## Point Feature Tracker

Extension of Lucas-Kanade Tracker:  
 Two Step Algorithm, Detection Algorithm

$$\epsilon = \int_W [J(Ax + d) - I(x)]^2 w(x) dx$$

$$d = [d_x, d_y]^T$$

$$A = \begin{bmatrix} s_1 & 0 \\ 0 & s_1 \end{bmatrix} \begin{bmatrix} \cos \theta & -\sin \theta \\ \sin \theta & \cos \theta \end{bmatrix} \approx 1 + \begin{bmatrix} s_0 & -\theta \\ \theta & s_0 \end{bmatrix}$$



Very accurate tracking of a point feature with rotation & scaling

## Two Step Algorithm

Translation

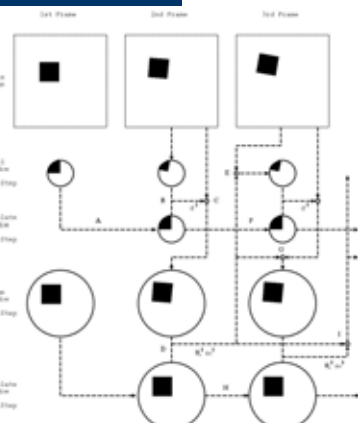
$$\int_{W_1} G_c w(x) dx \begin{bmatrix} d_x \\ d_y \end{bmatrix} = \int_{W_1} [I(x) - J(x)] \begin{bmatrix} \beta_x \\ \beta_y \end{bmatrix} w(x) dx$$

↓ slide

Rotation & Scaling

$$\int_{W_2} G_a w(x) dx \begin{bmatrix} \theta \\ s_0 \end{bmatrix} = \int_{W_2} [I(x) - J(x)] \begin{bmatrix} -\theta_x + \theta_y x \\ \theta_x + \theta_y x \end{bmatrix} w(x) dx$$

Inverse algorithm



## Ideal Affine Case



Automatic detection of good point features for tracking

Two step algorithm to track accurately

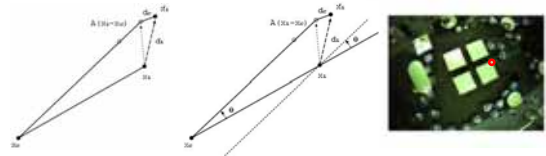
First frame image & warped image by estimation

## Two Step Algorithm



## Retrieval from Failure

- Failure of feature tracking due to large movement of blimp
- Recovery by geometric restriction among correctly tracked points



## Model for SfM

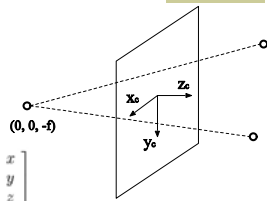
Central Projection

$$\begin{bmatrix} X \\ Y \end{bmatrix} = \frac{1}{1 + z_c \beta} \begin{bmatrix} x_c \\ y_c \end{bmatrix}$$

Object and Camera coordinates

$$\begin{bmatrix} x_c \\ y_c \\ z_c \beta \end{bmatrix} = \begin{bmatrix} t_x \\ t_y \\ t_z \beta \end{bmatrix} + \begin{bmatrix} 1 & & \\ & 1 & \\ & & \beta \end{bmatrix} R \begin{bmatrix} x \\ y \\ z \end{bmatrix}$$

$$\begin{bmatrix} x \\ y \\ z \end{bmatrix} = \begin{bmatrix} X \\ Y \\ 0 \end{bmatrix} + \alpha \begin{bmatrix} X \beta \\ Y \beta \\ 1 \end{bmatrix}, \quad (X, Y) \text{ Initial value on image plane}$$



## Estimated Parameters

$$R = \begin{bmatrix} q_0^2 + q_1^2 - q_2^2 - q_3^2 & 2(q_1 q_2 - q_0 q_3) & 2(q_1 q_3 + q_0 q_2) \\ 2(q_1 q_2 + q_0 q_3) & q_0^2 - q_1^2 + q_2^2 - q_3^2 & 2(q_2 q_3 - q_0 q_1) \\ 2(q_1 q_3 - q_0 q_2) & 2(q_2 q_3 + q_0 q_1) & q_0^2 - q_1^2 - q_2^2 + q_3^2 \end{bmatrix}$$

$$q = [q_0, q_1, q_2, q_3]^T$$

$$\delta q = [\sqrt{1 - \epsilon}, \omega_x/2, \omega_y/2, \omega_z/2]^T, \quad = (\omega_x^2 + \omega_y^2 + \omega_z^2)/4.$$

Simplified SfM algorithm

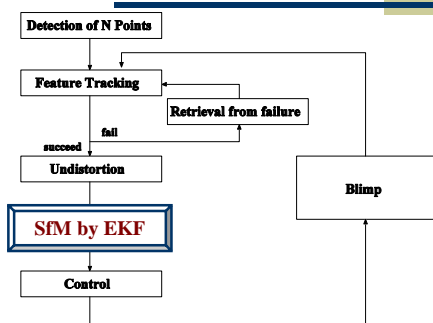
- Features on the same plane
- Known focal length

Estimated Parameters

$$[t_x, t_y, t_z, \omega_x, \omega_y, \omega_z, \alpha]$$



## System Chart



## SfM by EKF

$$x_t = [t_x, t_y, t_z, \omega_x, \omega_y, \omega_z, \alpha]$$

$$x_{t+1} = \Phi x_t + \bar{w}_t$$

$$y_t = H(x_t) x_t + \bar{v}_t$$

Extended Kalman Filter

: Identity Matrix      assume slow movement

➤ Arbitrary scaling      resolve by setting of desired path